

УДК 621.384.65

*В.Н. Гетманов, И.М. Икрянов, О.Я. Савченко*

**ВЛИЯНИЕ ПРОДОЛЬНОЙ АБЕРРАЦИИ  
В ИОННО-ОПТИЧЕСКОЙ СИСТЕМЕ  
НА СВОЙСТВА СФОКУСИРОВАННОГО ПУЧКА**

Моделирование процессов прохождения пучка в системе высоковольтных электродов с учетом теплового и сеточного разбросов поперечных скоростей частиц представляет собой трехмерную задачу, трудно разрешимую на современных ЭВМ. В данной работе разработан аналитический метод, сводящий эту задачу к двумерной. Метод соответствует приближению большой продольной абберации в ионно-оптической системе (ИОС), когда эффективный эмиттанс пучка при его высоковольтном формировании увеличивается в несколько раз, что характерно для всех известных ныне ИОС. В этом случае вполне оправдано утверждение об однозначной связи между координатами  $r$  и  $z$ , характеризующими соответственно положение частицы на эмиттере и точку пересечения оси частицей (или точку максимального приближения частицы к оси), а также между  $r$  и  $\alpha$  ( $\alpha$  — угол между траекторией частицы в области фокусировки и осью системы). Это утверждение приводит к гиперболическому закону нарастания плотности тока в центральной части сфокусированного пучка, установленному экспериментально [1—3], и подтверждает таким образом справедливость. При рассмотрении движения частиц в приосевой части сфокусированного пучка дополнительно использован закон сохранения момента импульса в осесимметричных полях относительно оси, что прекращает гиперболический рост плотности тока и порождает практически постоянный ее уровень в этой части пучка. Ширина приосевой части пучка и угол его сходимости, регистрируемые с помощью измерения формы профиля пучка [4, 5], характеризуют собой величину эмиттанса пучка, подаваемого на вход ИОС [3]. Эмиттанс пучка влияет и на форму профиля центральной части пучка, которая тем более отклоняется от гиперболической, чем выше температура пучка. Необходимые для расчета этой формы соотношения между  $r$  и  $z$ ,  $r$  и  $\alpha$  были получены с помощью численного решения задач [6]. В данной работе приведены основные формулы, характеризующие метод, рассчитаны диаметр пучка в кроссовере, распределение плотности тока на оси и форма профиля сфокусированного пучка протонов с учетом влияния теплового разброса поперечных скоростей и рассеяния на сетках. Расчеты сопоставлены с экспериментальными данными по фокусировке пучка протонов с энергией 0,4 МэВ, током 20—75 мА и диаметром 2—5 мм в кроссовере в условиях, когда эффективный эмиттанс пучка при его высоковольтном формировании вследствие аббераций увеличивался в 3 и более раз [1—3]. Форма электродов ускорителя, распределение потенциалов (в киловольтах) и расчетные траектории для 20 трубок тока при общем токе в пучке 61 мА и диаметре пучка на эмиттере 40 мм показаны на рис. 1. Там же метками Д8 и Д9 обозначены позиции многопроволочных датчиков профиля пучка [2].

1. Расчет плотности тока в сфокусированном пучке с учетом продольной абберации в системе формирующих пучок электродов. На рис. 2 изображена схема фокусировки пучка частиц осесимметричным электро-

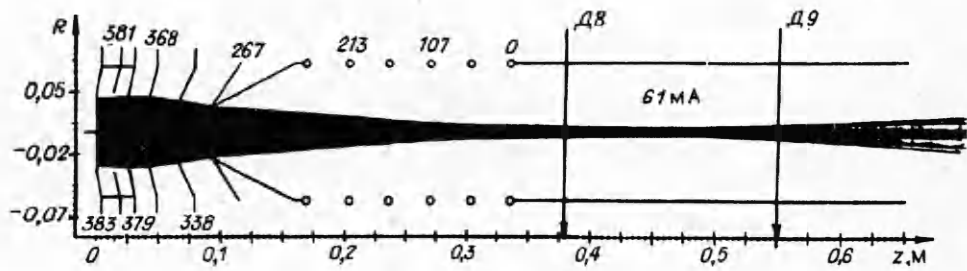


Рис. 1

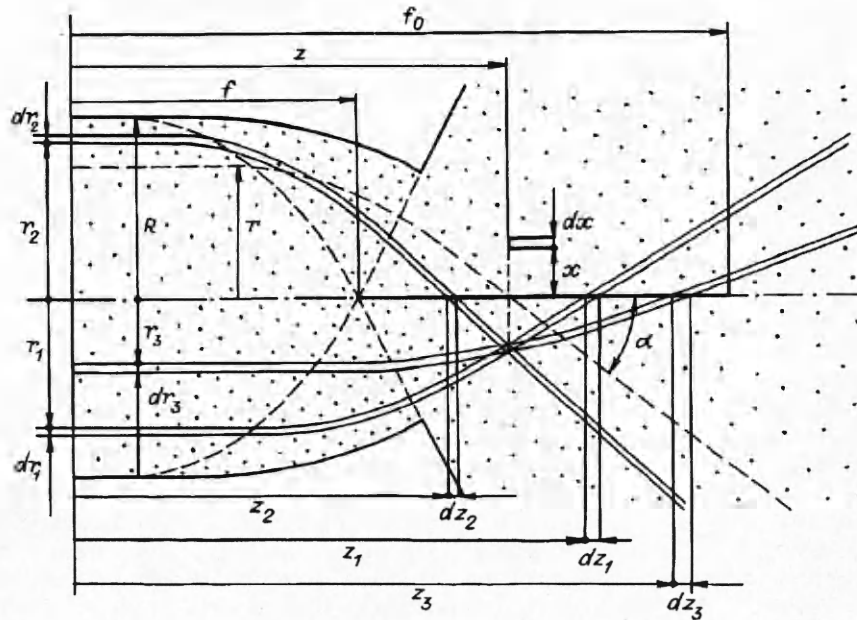


Рис. 2

статическим полем на отрезок  $ff_0$ . Ток через кольцо шириной  $dx$  и радиусом  $x$  на расстоянии  $z$  от плоскости входного отверстия имеет вид

$$(1.1) \quad dI = j(x, z) 2\pi x dx = \sum_k j(r_k, 0) 2\pi r_k \left| \frac{dr_k}{dz_k} \frac{dz_k}{dx} \right| dx,$$

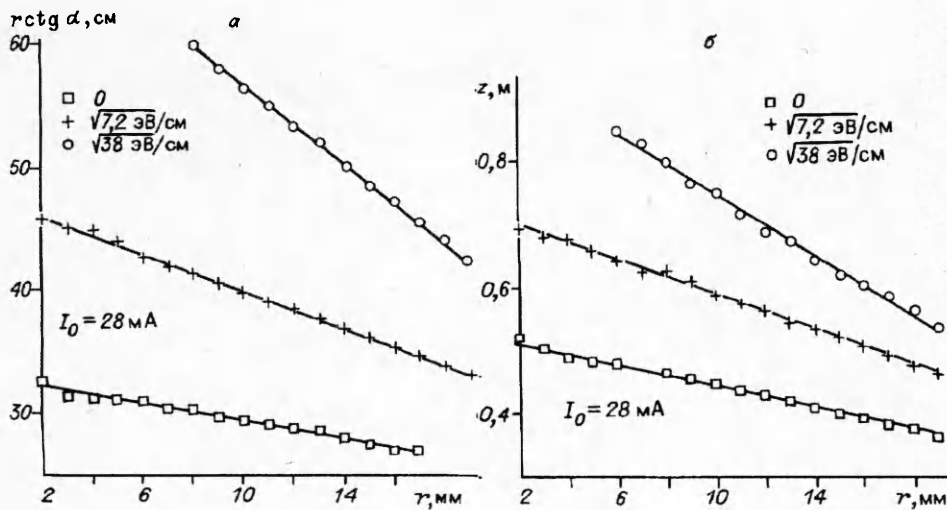
где  $j(x, z)$  — плотность тока;  $k$  — номер трубки тока;  $z_k$  — расстояние, на котором частицы, проходящие через кольцо, пересекают ось;  $j(r_k, 0)$  и  $r_k$  — плотности тока этих частиц и их расстояния до оси в плоскости входного отверстия. Из (1.1) следует

$$j(x, z) = \frac{1}{x} \sum_k j(r_k, 0) r_k \left| \frac{dr_k}{dz_k} \frac{dz_k}{dx} \right|.$$

Поэтому в области фокусировки плотность тока при приближении к оси гиперболически возрастает:

$$j(x, z) \rightarrow K(z)/x, \quad r_1 \rightarrow r_2 \rightarrow r, \quad K(z) = j(r, 0) \operatorname{ctg} \alpha \frac{dr^2}{dz},$$

так как  $\alpha$  и  $r$  зависят только от  $z$ .



Р и с. 3

Как показали расчеты [2] по методике [6], в широком диапазоне значений регулярной расходимости частиц пучка  $\sqrt{mv^2/2}/r$  в плоскости эмиттера зависимости  $z$  и  $r \operatorname{ctg} \alpha$  от  $r$  близки к линейным:

$$(1.2) \quad z = f_0 - (f_0 - f)r/R, \quad r \operatorname{ctg} \alpha = b + cr, \quad c < 0$$

(рис. 3, а, б). Вторые члены в (1.2) дают линейное приближение в описании продольной абберации. Используя значения параметров  $f_0, f, b, c$ , полученные в результате математического моделирования, можно рассчитать распределение плотности тока во всем диапазоне значений  $x$ , полагая, что искривлением траектории частиц в области фокусировки пучка пренебрегается. Согласно рис. 4, с учетом выражений (1.2) имеем

$$\begin{aligned} z_1 &= z + x \operatorname{ctg} \alpha_1 = z + cx + b(f_0 - f)x/R(f_0 - z_1), \\ z_2 &= z - x \operatorname{ctg} \alpha_2 = z - cx - b(f_0 - f)x/R(f_0 - z_2), \end{aligned}$$

откуда

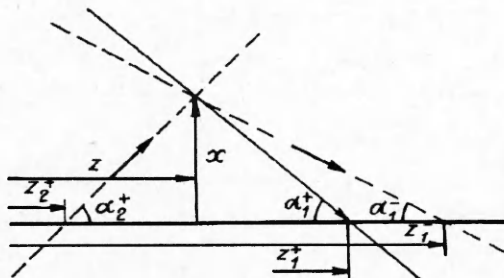
$$(1.3) \quad z_1^\pm = f_0 - f_-(1 \pm s_-)/2, \quad z_2^\pm = f_0 - f_+(1 \pm s_+)/2,$$

где

$$\begin{aligned} f_\pm &= f_0 - z \pm cx; \quad s_\pm = \sqrt{1 \pm \beta_\pm}; \\ \beta_\pm &= 4b(f_0 - f)x/Rf_\pm^2. \end{aligned}$$

Формулы (1.3) дают в четырех вариантах связь между точкой пересечения оси трубкой тока  $z_1^\pm$  и  $z_2^\pm$  и точкой наблюдения тока в сфокусированном пучке  $z, x$ . При фиксированном  $z$  совокупность всех возможных значений  $z_{1,2}^\pm$ , удовлетворяющая условию

$$(1.4) \quad f_- \leq z_{1,2}^\pm \leq f_0,$$



Р и с. 4

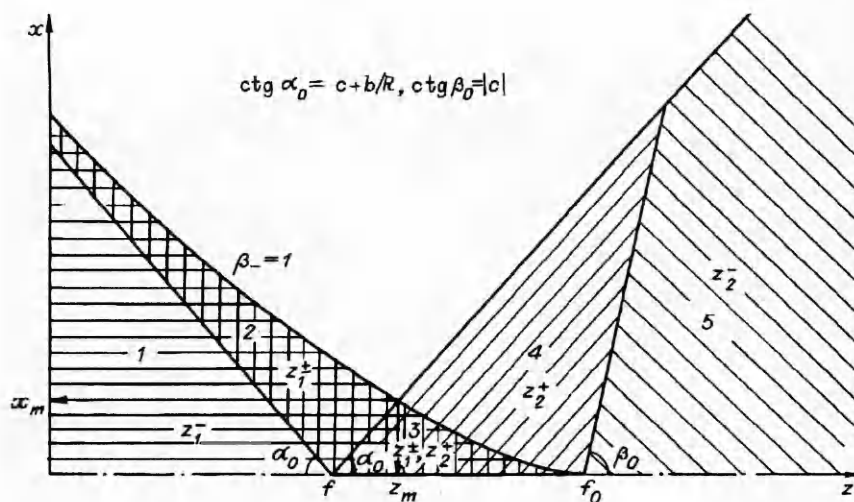


Рис. 5

ограничивает область возможных значений  $x$ . Результат такого анализа формул (1.3) отражен на рис. 5, где представлены пять различных вариантов областей связи между  $x$  и  $z$ . Этот рисунок дает наглядное представление о характере распределения плотности тока в сфокусированном пучке. В области 1, расположенной целиком при  $z < f$ , где пересечение оси  $z$  частицами невозможно, ток создается трубками тока, отвечающими только корню  $z_1^-$ , так как при  $x \rightarrow 0$   $z_1^- \rightarrow f_0$ , а  $z_1^+ \rightarrow z < f$ , что противоречит (1.4). Прямая линия, разделяющая области 1 и 2, появляется из условия  $z_1^+ = f$  (так как  $\partial z_1^+ / \partial z > 0$  и  $\partial z_1^+ / \partial x > 0$ ) и соответствует наиболее крутому пересечению оси  $z$  (под углом  $\alpha_0 = \text{arctg}(c + b/R)$ ) частицами, вылетающими с края эмиттера, где  $r = R$ . При  $r < R$  частицы, отвечающие этому варианту решения  $z_1^+$ , пересекают ось  $z$  при  $z > f$  под углами, меньшими, чем  $\alpha_0$ , и создают ток через площадку радиусом  $x$  в областях 1–3. Аналогично из условия  $z_2^+ = f$  получена прямая, разделяющая области 2 и 3 и ограничивающая сверху области 4 и 5. Кривая линия, ограничивающая сверху области 2 и 3, получена из условия существования общего для  $z_1^+$  и  $z_1^-$  корня, т.е. из требования  $\beta_- = 1$  (при условии  $x \ll f_0 - f$ ). Решение  $z_2^-$  существует только для точек наблюдения  $z > f_0$ , поэтому области 4 и 5 разделены прямой  $x = (z - f_0) \text{tg } \beta_0$ , следующей из условия  $z_2^- = f_0$ . В области 3 существуют одновременно три решения  $z_1^+$  и  $z_2^+$ , что означает пересечение в общем кольце трех трубок тока одновременно. В этой области наблюдаются наибольшая плотность тока и абсолютный кроссовер пучка. Радиус кроссовера  $x_m$  и его положение  $z_m$  на оси можно определить из двух условий:

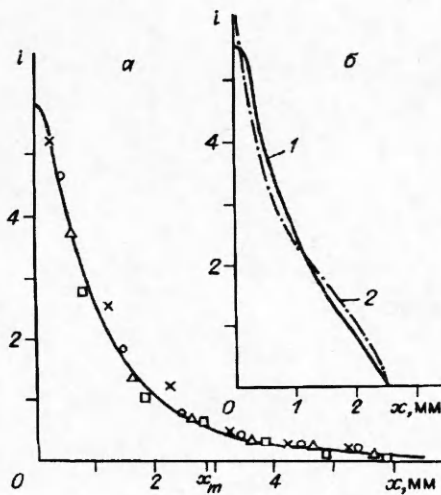
$$\beta_- = 1, \quad x = (z - f) \text{tg } \alpha_0,$$

откуда

$$x_m = (f_0 - f) \text{tg } \alpha_0 / (\sqrt{2} + \sqrt{1 + \text{tg } \alpha_0 \text{ctg } \beta_0})^2,$$

$$z_m = f + x_m / \text{tg } \alpha_0, \quad \text{где } \text{ctg } \beta_0 = -c > 0.$$

Вариант	$\frac{\sqrt{mc^2/2}/r}{\sqrt{eB}/\text{см}}$	$f$	$f_0$	$f_0 - f$	$\text{ctg } \alpha_0$	$\text{ctg } \beta_0$	$x_m$	$z_m$
		см					мм	
1	0	36,3	53,2	16,9	9,05	10,7	2,23	383
2	$\sqrt{7,2}$	45,3	72,8	27,5	16,25	7,5	2,46	493
3	$\sqrt{38}$	51,6	95,3	43,7	20,25	16,25	2,84	574



Р и с. 6

В таблице приведены расчетные параметры, характеризующие фокусировку пучка протонов, для трех вариантов начальных условий, отвечающих рис. 3, а, б.

На рис. 6, а показан профиль пучка протонов с энергией 0,4 МэВ и током 30 мА, полученный в эксперименте [1] при  $z = 645$  мм и отвечающий 3-му расчетному варианту таблицы. Как видно из рисунка, в пределах расчетного кроссовера находится около 90 % от полного тока пучка, а распределение плотности тока близко к гиперболическому. Это видно из сопоставления кривых 1 и 2 на рис. 6, б, отвечающих центральной части пучка диаметром 5 мм, где кривая 1 получена из кривой рис. 6, а путем послыоного вычитания периферийной части пучка, а кривая 2 отвечает гиперболическому закону распределения плотности тока в пучке. Наличие низкоинтенсивной протяженной периферийной части в экспериментальном профиле можно объяснить, по-видимому, влиянием частиц из области 4.

С каждым значением  $z_k^\pm$  связана плотность тока

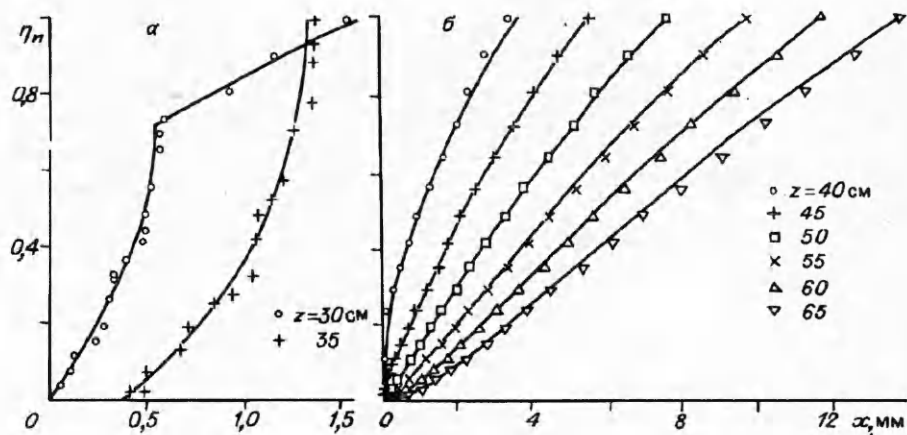
$$(1.5) \quad j_k^\pm = j(r_k^\pm, 0) \frac{r_k^\pm}{x} \left| \frac{dr_k^\pm}{dz_k^\pm} \frac{dz_k^\pm}{dx} \right| = \frac{j(r_k^\pm, 0)}{2x} \frac{R^2}{(f_0 - f)^2} \frac{d(f_0 - z_k^\pm)^2}{dx}.$$

Поэтому в случае, когда плотность тока  $j(r_k^\pm, 0)$  равна постоянной величине  $j_0$ , с каждым значением  $z_k^\pm$  будет связана следующая доля тока в апертуре  $x$ :

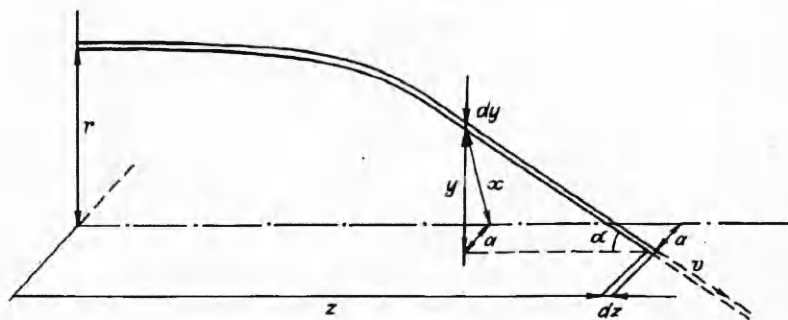
$$(1.6) \quad \eta_k^\pm = [(f_0 - z_k^\pm)/(f_0 - f)]^2.$$

Полные плотности тока и доли тока в апертуре  $x$  в областях 1—5, согласно формулам (1.5), (1.6), соответственно имеют вид

$$(1.7) \quad \begin{aligned} j_1 &= (j_0/2x)[(1/s_- - 1)bh + (s_- - 2 + 1/s_-)f_-ch^2], \\ j_2 &= (j_0/x)[(1/s_-)bh + (s_- + 1/s_-)f_-ch^2], \\ j_3 &= (j_0/2x)[(1 + 2/s_- + 1/s_+)bh + ((s_- + 1/s_-)f_- + \\ &\quad + (2 + s_+ + 1/s_+)f_+)ch^2], \\ j_4 &= (j_0/2x)[(1 + 1/s_+)bh + (s_+ + 2 + 1/s_+)f_+ch^2], \\ j_5 &= (j_0/2x)[(1 - 1/s_+)bh + (2 - s_+ - 1/s_+)f_+ch^2], \\ \eta_1 &= 0,25(1 - s_-)^2h^2, \quad \eta_2 = 1 - s_-h^2, \\ \eta_3 &= 0,25[(1 + s_+)^2g^2 - s_-h^2], \\ \eta_4 &= 0,25[(1 + s_+)g]^2, \quad \eta_5 = 0,25[(1 - s_-)u]^2, \end{aligned}$$



Р и с. 7



Р и с. 8

где

$$h = R / (f_0 - f); \quad u = f_- / (f_0 - f); \quad g = f_+ / (f_0 - f).$$

На рис. 7, а, б точками изображены значения долей тока, вычисленные по траекториям, которые были рассчитаны по методике [6] для инжектора [2] при протонном токе 35 мА с регулярной расходимостью частиц пучка на входе в инжектор  $0,85 \text{ ЭВ}^{1/2}/\text{см}$  и которые в пределах ошибок расчета отвечают  $f = 31 \text{ см}$ ,  $f_0 = 46 \text{ см}$ ,  $R = 1,9 \text{ см}$ ,  $b = 81 \text{ см}$ ,  $c = -18$ . Все эти точки ложатся на соответствующие зависимости  $\eta$  от  $x$ , полученные при разных  $z$  согласно формулам (1.7), что подтверждает их справедливость. Подобный аналитический расчет плотности тока полезен, в частности, и тем, что он позволяет определить величину тока через любую площадку вблизи оси в области фокусировки и вблизи поверхности  $s_- = 0$ , хотя плотности токов при приближении к оси в области фокусировки и к поверхности  $s_- = 0$  неограниченно возрастают.

2. Влияние температуры первичного пучка на распределение плотности тока в сфокусированном пучке. Частицы массы  $m$ , имеющие относительно оси угловой момент  $M$ , пролетают мимо нее на минимальном расстоянии  $a = M / mv$ , ( $v_r = v_z \text{ tg } \alpha$  — радиальная скорость частиц в области фокусировки). В этом случае

$$(2.1) \quad dI = j(x, z) 2\pi x dx = \sum_k^k j(r_k, 0) 2\pi r_k \left| \frac{dr_k}{dz_k} \frac{dz_k}{dy} \frac{dy}{dx} \right| dx,$$

где  $y = \sqrt{x^2 - a^2}$  — удаление частицы от оси без учета ее азимутального движения (рис. 8). Из (2.1) следует

$$j(x > a, z) = \frac{1}{\sqrt{x^2 - a^2}} \sum_k^k j(r_k, 0) \left| \frac{dr_k}{dz_k} \frac{dz_k}{dx} \right|, \quad j(x < a, z) = 0.$$

Поэтому в области фокусировки плотность тока при приближении к оси возрастает при  $x > a$  по закону

$$(2.2) \quad j(x, z) \rightarrow K(z)/\sqrt{x^2 - a^2}, \quad K = j(r, 0) \operatorname{ctg} \alpha \left| \frac{dr^2}{dz} \right|$$

и равна нулю при  $x < a$ . Если азимутальные скорости частиц на входе имеют функцию распределения  $f(v_r)$ , то из (2.2) получим

$$j(x, z) \rightarrow K' \int_0^{v_r/r} (x^2 - r^2 v_r^2 / v_r^2)^{-1/2} f(v_r) dv_r = (K' v_r / r) \int_0^1 \frac{f(v_r x \epsilon / r) d\epsilon}{\sqrt{1 - \epsilon^2}},$$

а если функция распределения  $f(v_r)$  имеет максвелловский вид с температурой  $T$ , то

$$(2.3) \quad j(x, z) \rightarrow (\sqrt{2} K' / r \operatorname{ctg} \alpha \sqrt{m \eta_T}) \int_0^1 \exp[-(\epsilon x / r \operatorname{ctg} \alpha \sqrt{\eta_T})^2] \frac{d\epsilon}{\sqrt{1 - \epsilon^2}},$$

где  $K' = K \sqrt{2m / \pi T}$ ;  $\epsilon = r v_r / x v$ ;  $\eta_T = T / (m v^2 / 2) = T / \mathcal{E}$ . Поэтому максимальную плотность тока в области фокусировки запишем в виде [3]

$$j(0, z) = \sqrt{4\pi} j(r, 0) \left| \frac{dr}{dz} \right| \sqrt{\frac{\mathcal{E}}{T}},$$

а в случае (1.2)

$$(2.4) \quad j(0, z) = \sqrt{4\pi} j(r, 0) \frac{R}{f_0 - f} \sqrt{\frac{\mathcal{E}}{T}}.$$

На рис. 9, а изображен полученный в эксперименте [3] профиль пучка протонов с энергией 0,39 МэВ и полным током 75 мА, центральная часть которого, ограниченная радиусом 2 мм (рис. 9, б), несет в себе ток 50 мА. Средняя плотность тока в области, ограниченной радиусом  $r_0 = 1$  мм,  $\langle j \rangle = 0,92$  А/см<sup>2</sup>, а плотность тока на оси, которая, согласно [3], переходит на почти постоянный уровень в приосевой части пучка при  $x < a_1 \approx 0,2$  мм, имеет вид

$$j_c = \langle j \rangle (r_0 / 2a_1) / (1 - a_1 / 2r_0) = 2,6 \text{ А/см}^2.$$

Средняя плотность тока на эмиттере в этом случае составляет 6 мА/см<sup>2</sup> и изменяется от 7,5 мА/см<sup>2</sup> на оси пучка до 3,75 мА/см<sup>2</sup> на его периферии при  $R = 2$  см. Температура частиц на эмиттере  $T = 0,11$  эВ [3]. Режим формирования пучка соответствует регулярной радиальной расходимости пучка на эмиттере  $3\sqrt{\text{эВ}}/\text{см}$ , а форма траекторий, полученная в математическом моделировании, — параметрам  $f_0 - f = 35$  см. Тогда, согласно (2.4), плотность тока на оси сфокусированного пучка должна возрастать в  $\sqrt{\pi \mathcal{E} / T} \cdot 2R / (f_0 - f) \approx 340$  раз и изменяться от 1,7 А/см<sup>2</sup> при  $z = f \approx 50$  см до 3,3 А/см<sup>2</sup> при  $z = f_0 \approx 85$  см. Эти расчетные значения плотности тока на оси хорошо согласуются с экспериментальной величиной  $j_c = 2,6$  А/см<sup>2</sup>, полученной при  $z = 64,5$  см, т.е. при  $f < z < f_0$ .

3. Влияние температуры первичного пучка на профиль сфокусированного пучка. При

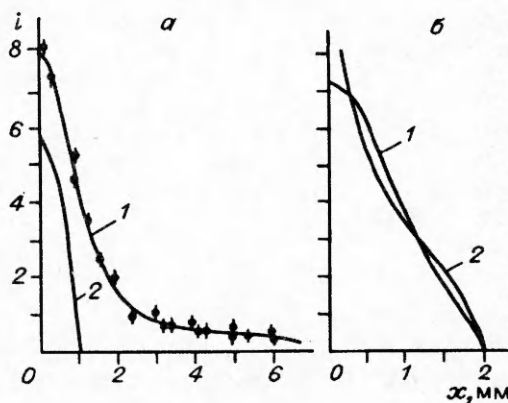
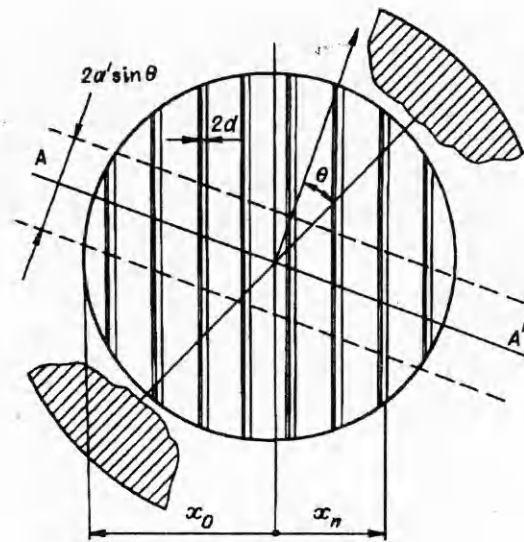
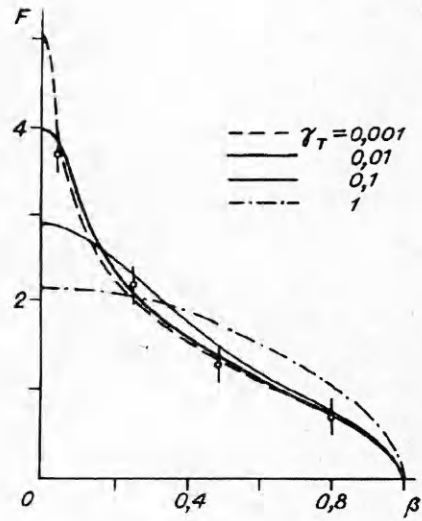


Рис. 9



Р и с. 10



Р и с. 11

измерении профиля пучка используются проволочные датчики [4, 5]. Если проволочки датчика расположены в апертуре  $x_0$  так, как изображено на рис. 10, то ток  $i_n$  с  $n$ -й проволочки, удаленной от центра апертуры на расстояние  $x_n$ , связан при диаметре проволочки  $d \ll x_0$  с плотностью тока  $j(x, z)$  соотношением

$$(3.1) \quad i_n = 2d \int_{x_n}^{x_0} j(x, z) x dx / \sqrt{x^2 - x_n^2}.$$

Если поперечная температура пучка на входе равна  $T$ , а апертура  $x_0$  достаточно мала, то из (2.3) и (3.1) следует, что  $i_n$  и  $I_{x_0}$  (ток в апертуре  $x_0$ ) определяются формулами

$$i_n = (4Kd / \sqrt{\pi \gamma_T}) \int_0^1 \ln [(\sqrt{1 - \beta^2} + \sqrt{1 - \varepsilon^2}) / \sqrt{|\beta^2 - \varepsilon^2|}] \exp(-\varepsilon^2 / \gamma_T) d\varepsilon,$$

$$I_{x_0} = \int_0^{x_0} j(x, z) 2\pi x dx = (4Kx_0 \sqrt{\pi} / \sqrt{\gamma_T}) \int_0^1 \exp(-\varepsilon^2 / \gamma_T) d\varepsilon / \sqrt{1 - \varepsilon^2},$$

$$\gamma_T = (T / \mathcal{E})(r \operatorname{ctg} \alpha / x_0)^2, \quad \beta = x / x_0.$$

Поэтому доля тока, попадающего на проволочку, удаленную от центра апертуры на  $x = \beta x_0$ , определяется формулой

$$i / I_{x_0} = F(\beta, \gamma_T) (d / \pi x_0),$$

$$\text{где } F(\beta, \gamma_T) = \frac{\int_0^1 \ln [(\sqrt{1 - \beta^2} + \sqrt{1 - \varepsilon^2}) / \sqrt{|\beta^2 - \varepsilon^2|}] \exp(-\varepsilon^2 / \gamma_T) d\varepsilon}{\int_0^1 \exp(-\varepsilon^2 / \gamma_T) d\varepsilon / \sqrt{1 - \varepsilon^2}}.$$

На рис. 11 приведены зависимости  $F$  от  $\beta$  для различных  $\gamma_T$ , кружки — значения  $F$ , полученные в инжекторе [1] на датчике, расположенном на расстоянии  $z = 645$  мм от входного отверстия. Расстояние между крайними проволочками датчика  $2x_0 = 8$  мм. Ток протонного пучка равен 28 мА, регулярная расходимость пучка на входе в инжектор 6 эВ<sup>1/2</sup>/см. Источник



протонов работал в режиме, когда рассеяние протонов на сеточных электродах было существенно меньше температурного рассеяния [3]. Как видно из рис. 11, в пределах точности эксперимента точки ложатся на зависимость  $F(\beta)$  при  $\gamma_T \leq 0,01$ . Это позволяет получить следующий верхний предел поперечной температуры пучка на входе в инжектор:

$$T = \mathcal{E} \gamma_T (x_0 / r \operatorname{ctg} \alpha)^2 < \mathcal{E} \gamma_T [x_0 / (b + cR)]^2 \leq 0,37 \text{ эВ,}$$

так как энергия протонов в области фокусировки  $\mathcal{E} = 390$  кэВ,  $b \approx 73$  см,  $c \approx -16$ . Полученный верхний предел температуры хорошо согласуется с экспериментальными результатами [3, 4]. (Более точная оценка  $T \approx \mathcal{E} \gamma_T [x_0 / (b + cr_m)]^2 \leq 0,24$  эВ, где  $r_m$  соответствует  $z_m$ .)

4. Влияние рассеяния частиц вблизи проволочных электродов, формирующих пучок, на профиль пучка в области фокусировки. Проволочные электроды, формирующие первичный пучок протонов для дальнейшего ускорения [3, 4], отклоняют протоны на малый угол  $u \Delta E / 2U$  ( $U$  — ускоряющее напряжение в области сеточного полотна,  $\Delta E$  — разность напряженностей электрических полей до и после проволочного полотна,  $u$  — расстояние пролетающих протонов до ближайшей средней межпроволочной линии). Поэтому протоны, пролетевшие проволочное полотно, имеют равномерное распределение по углам в диапазоне  $\pm (s - d) \Delta E / 4U$  ( $s$  — шаг проволоки,  $d$  — их диаметр). В области фокусировки пучка этот угловой разброс приводит к тому, что аксиальная симметрия движения частиц нарушается. Вследствие этого при формировании пучка частицы, ранее двигавшиеся строго в плоскости, проходящей через ось системы, начинают равномерно рассеиваться в перпендикулярном к этой плоскости направлении, удаляясь от нее в соответствии с величиной своего момента импульса, полученного ими в результате рассеяния на проволочках сетки. При этом, согласно закону сохранения момента импульса частиц при движении в центральных полях, имеем

$$(4.1) \quad \sqrt{2eU/m} (s - d) (\Delta E / 4U) \sin \theta \cdot mr = \sqrt{2eV/m} \sin \alpha \cdot am, \\ V = \mathcal{E} / e.$$

Здесь  $r, \theta$  — полярные координаты частицы на эмиттере;  $a$  — минимальное удаление частицы от оси системы в области фокусировки пучка. Считая  $r \gg s - d$ , получим, что частицы, находившиеся на эмиттере в некоторой плоскости  $AA'$ , характеризуемой углом  $\theta$  (см. рис. 10), в области фокусировки окажутся равномерно распределенными в окрестности этой плоскости протяженностью  $\pm a' \sin \theta$ , где, согласно (4.1),

$$a' = (s - d)(r / \sin \alpha) \Delta E / (4 \sqrt{UV}).$$

Плотность тока в области фокусировки будет зависеть как от удаления точки наблюдения  $x$  от оси, так и от угла наблюдения  $\theta$ . Свой вклад в ток в окрестности точки  $x, \theta$  дадут частицы, находившиеся на эмиттере в плоскостях, характеризуемых углами  $\theta_- < \theta < \theta_+$ , откуда вследствие удаления в перпендикулярном к плоскости направлении частицы могут достичь точки  $x, \theta$ . Поэтому значения  $\theta_+$  и  $\theta_-$  можно найти из условий

$$(4.2) \quad a' \sin \theta_{\pm} = \pm x \sin(\theta_{\pm} - \theta).$$

Суммарная плотность тока в окрестности точки  $x, \theta$  определится интегралом вида

$$j(x, \theta) = \operatorname{const}(a') \int_{\theta_-}^{\theta_+} d\theta / \sin \theta,$$

где значение  $\operatorname{const}(a')$  находится из предельного перехода  $j(x, \theta) \rightarrow K_1/x$  при  $a' \rightarrow 0$ , а величина  $K_1$  задана условием

$$I_{x_0} = \int_0^{x_0} j(x) 2\pi x dx,$$

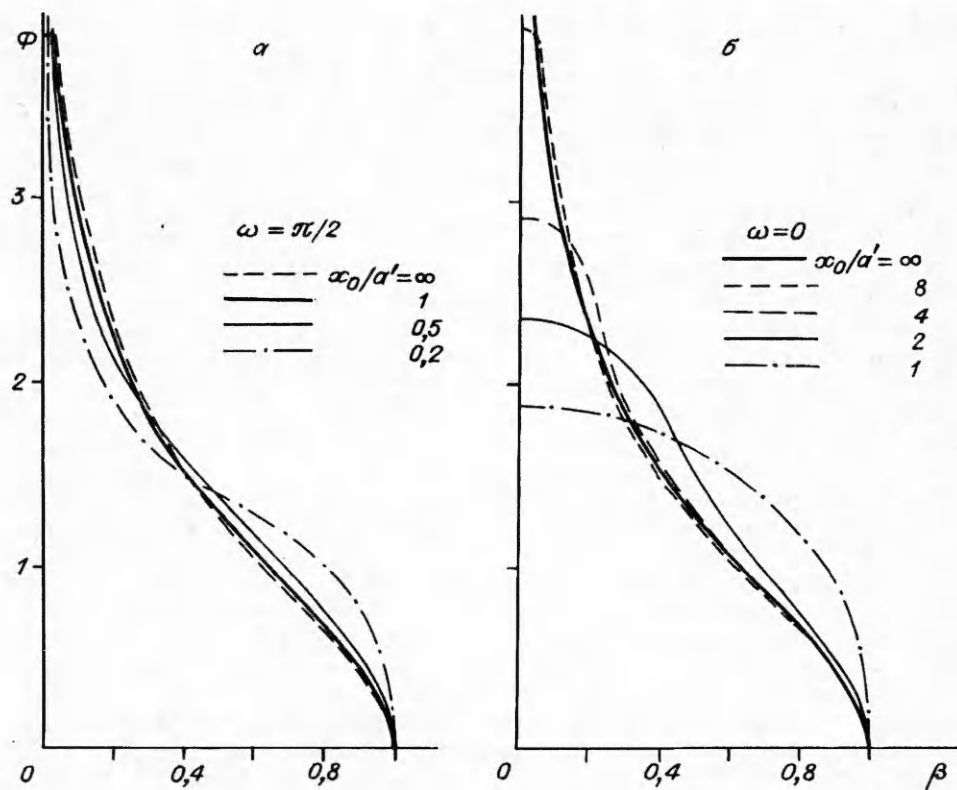


Рис. 12

отсюда

$$(4.3) \quad j(x, \theta) = (I_{x_0} / 4\pi x_0 a') \int_{\theta_-}^{\theta_+} d\varphi / \sin \varphi = \\ = (I_{x_0} / 4\pi x_0 a') \ln(\operatorname{tg}(\theta_+ / 2) \operatorname{ctg}(\theta_- / 2)).$$

Из (4.2) и (4.3) следует

$$j(x, \theta) = (I_{x_0} / 4\pi x_0 a') \ln \left( \frac{a'/x + \cos \theta + \sqrt{(a'/x)^2 + 2(a'/x)\cos \theta + 1}}{\sin \theta} \right).$$

Поэтому доля тока, попадающего на проволоку датчика профиля пучка, удаленную от центра апертуры на  $x = \beta x_0$  и расположенную под углом  $\omega$  к нитям сеточного электрода, формирующего первичный пучок, определяется формулой

$$i_n / I_{x_0} = (d / \pi x_0) \Phi(\beta, x_0 / a', \omega) \\ (\Phi = 0,25(x_0 / a') \int_{-\varphi_0}^{\varphi_0} j(\cos \varphi / \beta(x_0 / a'), \omega + \varphi) d \operatorname{tg} \varphi, \cos \varphi_0 = \beta).$$

На рис. 12, а, б приведены зависимости  $\Phi$  от  $\beta$  соответственно при  $\omega = 0$  и  $\pi/2$  для характерных значений  $x_0/a'$ , отвечающих большому (при  $x_0/a' \sim 1$ ) и незначительному (при  $x_0/a' \gg 1$ ) рассеянию на сетках. Рис. 12, а дает проекцию профиля пучка вдоль нитей сеточного электрода, когда влияние рассеяния на сетках минимально, а рис. 12, б — проекцию профиля в ортогональной к этим нитям проекции, когда рассеяние на сетках может

существенно расширить профиль пучка, как это видно из вариантов, отвечающих значениям  $x_0/a' \geq 1$ .

В инжекторе, примененном в [2], расстояние между сеточными электродами  $H = 1,4$  см. Сеточный диод, формирующий первичный пучок протонов, работал при токе, определяемом законом "трех — вторых", когда граница плазмы расположена в плоскости катодной сетки и протоны рассеивались в основном нитями второго сеточного электрода [3]. Шаг нитей  $s = 0,225$  мм, а диаметр  $d = 0,05$  мм. Напряжение между электродами  $U = 7,5$  кВ. Радиус апертуры датчика  $x_0 = 8$  мм. В этом случае величина  $x_0/a'$  с учетом неравенства  $r/\sin \alpha \doteq r \operatorname{ctg} \alpha = b + cr < b$  удовлетворяет условию

$$x_0/a' > (16/3)[H/(s-d)](x_0/b)\sqrt{V/U} \approx 14.$$

Как видно из рис. 12, при  $x_0/a' > 14$  обе проекции профиля пучка, взятые при  $\omega = 0$  и  $\pi/2$ , очень близки к кривым без рассеяния, когда  $x_0/a' = \infty$ , и поэтому практически совпадают. Следовательно, рассеяние на сетках несущественно на фоне температурного разброса поперечных скоростей частиц. Проведенный расчет позволяет уточнить условия, необходимые для формирования пучков с высокой степенью аксиальной симметрии, полученных в экспериментах на высоковольтном ускорителе протонов [2].

#### ЛИТЕРАТУРА

1. Гетманов В.Н., Савченко О.Я. Применение плазменного эмиттера, стабилизированного сеткой, в системе формирования высокоэнергетического пучка протонов // Вопросы атомной науки и техники. Сер. Ядерно-физические исследования. — 1989. — Вып. 5/5. — С. 24—29.
2. Баткин В.И., Гетманов В.Н., Икрянов И.М., Савченко О.Я. Импульсный ускоритель протонов с регулируемым током // ПТЭ. — 1991. — № 2. — С. 27—31.
3. Гетманов В.Н., Савченко О.Я. Распределение плотности тока в пучке высоковольтного ускорителя протонов // ПТЭ. — 1992. — № 5. — С. 34—40.
4. Гетманов В.Н. Распределение плотности тока в пучке дугового источника протонов // ПМТФ. — 1991. — № 1. — С. 3—8.
5. Гетманов В.Н. Малогабаритный датчик тока и профиля пучка импульсного ускорителя протонов // ПТЭ. — 1985. — № 1. — С. 39—43.
6. Иванов В.Я. Автоматизация машинного проектирования приборов электроники. — Новосибирск, 1977. — (Препр. / АН СССР, Сиб. отд-ние, ВЦ; № 40).

г. Новосибирск

Поступила 21/VI 1993 г.

УДК 583.4 + 533.95

С.В. Станкевич, Г.А. Швецов

#### ПРЕДЕЛЬНЫЕ СКОРОСТИ ПРИ УСКОРЕНИИ ПЛАСТИН МАГНИТНЫМ ПОЛЕМ

Задача об ускорении проводящих листов магнитным полем исследовалась многими авторами. Так, в [1—6] аналитическими и численными методами изучались предельные скорости металлических тел при индукционном и кондукционном ускорении. Не останавливаясь на деталях, отметим, что аналитическое описание в этих работах выполнено при введении большого числа упрощающих предположений, сужающих область применения полученных результатов; в то же время результаты, найденные при использовании достаточно полных моделей в численных исследованиях, имеют еще более узкую область применения в силу использования ограниченного набора

© С.В. Станкевич, Г.А. Швецов, 1994